

# แรงยึดจือระหว่างเรซินอะคริลิกชนิดบ่มด้วยความร้อนกับรับสgapพื้นผิวแบบต่างๆ กับเรซินอะคริลิก ชนิดบ่มด้วยตัวเอง

## Shear-Bond Strength Between Heat-Polymerized Acrylic Resin Within Different Surface Treatments and Autopolymerized Acrylic Resin

พิริยะ யาริราช<sup>1</sup>, สุดาพร ดวงสุริยะ<sup>2</sup>, อุบลวรรณ เสริมชัยวงศ์

<sup>1</sup>สาขาวิชาทันตกรรมประดิษฐ์ คณะทันตแพทยศาสตร์, มหาวิทยาลัยเชียงใหม่,

<sup>2</sup>นักศึกษาระดับประกาศนียบัตรบัณฑิตชั้นสูงทางวิทยาศาสตร์คลินิก

สาขาวิชาทันตแพทยศาสตร์ แขนงวิชาทันตกรรมประดิษฐ์, คณะทันตแพทยศาสตร์, มหาวิทยาลัยเชียงใหม่

Piriya Yavirach<sup>1</sup>, Sudaporn Duangsuriya<sup>2</sup>, Ubonwan Sermchaiwong<sup>2</sup>

<sup>1</sup>Department of Prosthodontics, Faculty of Dentistry, Chiang Mai University,

<sup>2</sup>Postgraduate student, Department of Prosthodontics, Faculty of Dentistry, Chiang Mai University

ชม.ทันตสาธารณสุข 2554; 32(2) : 93-101

CM Dent J 2011; 32(2) : 93-101

### บทคัดย่อ

วัตถุประสงค์ของการศึกษานี้เพื่อประเมินแรงยึดจือระหว่างเรซินอะคริลิกชนิดบ่มด้วยความร้อนกับรับสgapพื้นผิวต่างๆ กับเรซินอะคริลิกชนิดบ่มด้วยตัวเอง ชิ้นทดสอบ 78 ชิ้นถูกเตรียมด้วยเรซินอะคริลิกชนิดบ่มด้วยความร้อนแล้วแบ่งเป็น 6 กลุ่มๆ ละ 13 ชิ้นตามวิธีการปรับสgapพื้นผิวดังนี้ 1) ไม่มีการปรับสgapพื้นผิว, 2) พ่นด้วยเมทิลเมทาเคริเลต มองอเมอร์, 3) พ่นด้วยผงอลูมินา, 4) พ่นด้วยเจ็ทพลาスマ, 5) พ่นด้วยเจ็ทพลาスマและทาด้วยมองอเมอร์ และ 6) พ่นด้วยเจ็ทพลาスマ ทาด้วยมองอเมอร์ และพ่นด้วยเจ็ทพลาasma อีกด้วย ยึดเรซินอะคริลิกชนิดบ่มด้วยตัวเอง

### Abstract

The purpose of this study was to evaluate the effects of various surface treatments on shear bond strength between heat-polymerized acrylic resin and autopolymerized acrylic resin. Seventy eight heat-polymerized acrylic resin specimens were divided into six groups according to their surface treatments as follows: 1) no surface treatment, 2) methylmethacrylate monomer application, 3) blasted with alumina particles, 4) plasma jet treatment, 5) plasma jet treatment and monomer application, 6) plasma jet treatment, monomer application and plasma jet treatment.

Corresponding Author:

พิริยะ ยา vierach

ผู้ช่วยศาสตราจารย์ ดร. ภาควิชาทันตกรรมประดิษฐ์  
คณะทันตแพทยศาสตร์ มหาวิทยาลัยเชียงใหม่ เชียงใหม่ 50200

Piriya Yavirach

Assistant Professor Dr., Department of Prosthodontics,  
Faculty of Dentistry, Chiang Mai University,  
Chiang Mai 50200, Thailand.  
E-Mail: [piriya@chiangmai.ac.th](mailto:piriya@chiangmai.ac.th)

บันพื้นผิวที่เตรียมไว้ ทดสอบค่าแรงยึดเนื่องด้วยเครื่องทดสอบสากล การวิเคราะห์ความแปรปรวนแบบทางเดียวซึ่งให้เห็นว่า กลุ่มที่พ่นด้วยพลาสม่าอลูминาให้ค่าเฉลี่ยแรงยึดเนื่องสูงสุด กลุ่มควบคุมและกลุ่มทาด้วยมอนอเมอร์ไม่มีความแตกต่างอย่างมีนัยสำคัญ กลุ่มที่พ่นด้วยเจ็ท พลาสม่าทุกกลุ่มมีค่าเฉลี่ยแรงยึดเนื่องน้อยกว่ากลุ่มควบคุมและกลุ่มพ่นพลาสม่าอย่างมีนัยสำคัญ

**คำสำคัญ:** แรงยึดเนื่อง เจ็ทพลาสม่า เรซินอะคริลิก

An autopolymerized acrylic resin was applied to the treated surfaces. Shear bond strength tests were performed using a Universal Testing Machine. One-way ANOVA revealed that the group treated with alumina particles had the highest shear bond strength value. No significant difference was detected between the control group and the monomer application group. The shear bond strength of every group treated with plasma jet was significantly lower than that of the control group and the group treated with alumina particles alone.

**Keywords:** Shear bond strength, Plasma jet, Acrylic resin

## บทนำ

วัสดุประดิษฐ์ฐานฟันเทียมที่ได้รับความนิยมในปัจจุบัน ได้แก่ เเรซินสังเคราะห์เมทิลเมทاكโรเลต (synthetic methyl methacrylate) หรือที่เรียกว่า เเรซินอะคริลิก เนื่องจากมีคุณสมบัติหลายประการที่เหมาะสมสำหรับการใช้ในช่องปาก ได้แก่ มีความแข็งแรงเพียงพอ การดูดน้ำและการละลายน้ำต่ำ มีเสถียรภาพของมิติเป็นที่น่าพอใจ ให้ความสวยงาม นอกจากนี้ การสร้างฐานฟันเทียมเรซินอะคริลิกและการซ้อมฐานฟันเทียมเรซินอะคริลิกที่แตกหักยังสามารถทำได้ง่าย ไม่ต้องใช้เครื่องมือที่ยุ่งยาก ซับซ้อน หรือราคาแพง<sup>(1)</sup>

แม้ว่าเรซินอะคริลิกจะมีคุณสมบัติที่ดีในการทำฐานฟันเทียม แต่การแตกหักของฟันเทียมเรซิน อะคริลิกเป็นเหตุการณ์ที่พบได้บ่อยในคลินิก โดยพบว่าเกิดการแตกหักที่ฐานฟันเทียมถึงร้อยละ 64<sup>(2)</sup> และพบการแตกหักซ้ำหลังการซ้อมภายในระยะเวลา 3 ปีถึงร้อยละ 68<sup>(3)</sup> การแตกหักของฐานฟันเทียมมักมีสาเหตุจาก การออกแบบฟันเทียม และ การเลือกวัสดุที่ไม่ถูกต้อง<sup>(4)</sup> ความไม่แนบสนิทของฐานฟันเทียม การขาดการสบได้ดุล และ การมีแรงมากระหว่างทำต่อฐานฟันเทียม<sup>(5)</sup> การสร้างฟันเทียมชิ้นใหม่แทนชิ้นเดิมผู้ป่วยจะต้องเสียค่าใช้จ่ายที่สูง ต้องใช้เวลาในขั้นตอนการทำ และการไม่มีฟันเทียมใช้งานอาจ

ทำให้ผู้ป่วยรู้สึกไม่สะดวกในการเคี้ยวอาหาร หรือเข้าสัมคม ด้วยเหตุผลเหล่านี้จึงมักพิจารณาซ้อมฟันเทียมให้ผู้ป่วย ซึ่งอาจเป็นการซ้อมชั่วคราว หรือถาวรสักได้<sup>(4)</sup> อย่างไรก็ตาม เเรซินอะคริลิกที่นำมาใช้ซ้อมฟันฐานเทียม มีหลายชนิด ได้แก่ เเรซินอะคริลิกชนิดบ่มด้วยตัวเอง (autopolymerized) ชนิดบ่มด้วยความร้อน (heat-polymerized) ชนิดบ่มด้วยแสง (light-polymerized) และชนิดบ่มด้วยคลื่นไมโครเวฟ (microwave-polymerized)<sup>(6)</sup> การเลือกใช้วัสดุชนิดใดขึ้นอยู่กับการพิจารณาปัจจัยด้านต่างๆ ได้แก่ ระยะเวลาในการซ้อมฟันเทียม แรงดัดขวาง (transverse strength) และ การคงความเที่ยงของมิติ (dimensional accuracy) ในขณะซ้อม เนื่องจากเป็นที่ทราบกันดีว่าการเพิ่มอุณหภูมิในขณะบ่มทำให้เรซินอะคริลิกมีคุณสมบัติเชิงกลและเคลื่อนที่ขึ้น<sup>(6)</sup> ดังนั้นเรซินอะคริลิกชนิดบ่มด้วยความร้อน และชนิดบ่มด้วยคลื่นไมโครเวฟจึงเป็นวัสดุซ้อมฐานฟันเทียมที่ให้ความแข็งแรงมากที่สุด และเมื่อเปรียบเทียบความแข็งแรงหลังการซ้อมฐานฟันเทียมด้วยเรซินอะคริลิกชนิดบ่มด้วยความร้อน ชนิดบ่มด้วยคลื่นไมโครเวฟ และชนิดบ่มด้วยตัวเองกับของฐานฟันเทียมที่ปกติ พบร่ว่าให้ความแข็งแรงร้อยละ 75 ถึง 80 ร้อยละ 93 ถึง 106 และ ร้อยละ 60 ถึง 65 ตามลำดับ แม้ว่าวัสดุสองชนิดแรกให้ความ

แข็งแรงที่ดีแต่ต้องใช้ระยะเวลาในการซ่อมนานและใช้เครื่องมือหลายชนิด เนื่องจากมีขั้นตอนการลงเบ้าหล่อและการอัด อิกทั้งยังมีโอกาสเกิดการบิดเบี้ยวของฐานฟันเทียมอันเนื่องมาจากความร้อนได้ ดังนั้นการซ่อมฐานฟันเทียมด้วยเรซินอะคริลิกชนิดบ่มด้วยตัวเองแม้จะมีความแข็งแรงน้อยกว่า<sup>(6)</sup> แต่ก็เป็นรสดุที่เป็นที่นิยมมากที่สุดเนื่องจากสามารถใช้ซ่อมฟันเทียมได้ง่ายและรวดเร็ว<sup>(4)</sup> และปัจจุบันได้มีการพัฒนาขั้นตอนการซ่อมและพัฒนาวัสดุให้มีความแข็งแรงมากขึ้นกว่าในอดีต เช่น การใช้ความดันอากาศร่วมกับความร้อนต่ำ (air pressure and low heat) เพื่อช่วยลดการเกิดรูพรุนอันเนื่องมาจากการเกิดปฏิกิริยาเคมีของวัสดุ ส่งผลให้การซ่อมฐานฟันเทียมด้วยเรซินอะคริลิกชนิดบ่มด้วยตัวเองมีความแข็งแรงมากขึ้น<sup>(6)</sup>

แม้ว่าเรซินอะคริลิกชนิดบ่มด้วยตัวเองเป็นที่นิยมใช้ในการซ่อมฐานฟันเทียมที่เกิดการแตกหัก อย่างไรก็ตาม มักพบเสมอว่าฟันเทียมชิ้นนั้นมักเกิดการแตกหักข้างปริเวณรอยต่อของวัสดุเก่าและใหม่ เนื่องจากเป็นตำแหน่งที่เกิดแรงเด่นสะสมมากที่สุดเมื่อรับแรง<sup>(5,7)</sup> ประกอบกับความแข็งแรงของการยึดติดที่น้อยระหว่างเรซินอะคริลิกชนิดบ่มด้วยความร้อนในส่วนที่เป็นฐานฟันเทียมซึ่งเกิดโครงสร้างพอลิเมอร์ที่สมบูรณ์แล้ว (complete polymerization) กับเรซินอะคริลิกที่บ่มด้วยตัวเอง จึงได้มีความพยายามที่จะหาวิธีการเพิ่มแรงยึดติดนี้ด้วยวิธีการเตรียมพื้นผิวของฐานฟันเทียม<sup>(5)</sup> อาทิ วิธีทางเคมี เช่น การใช้ คลอโรฟอร์ม เมทิลเมทاكิเลตมอนومิเออร์ อะซีตอิน และ เมทิลลีน คลอโรได<sup>(4,8,9)</sup> วิธีทางกล เช่น การเพิ่มความขรุขระของพื้นผิวด้วยการพ่นผงอลูมิโน<sup>(4)</sup> การกรองผิวบริเวณรอยต่อให้มีรูปแบบต่างๆ<sup>(7)</sup> และวิธีทางฟิสิกส์โดยใช้เทคโนโลยีโลหะพลาสma ซึ่งพลาสmaในที่นี้หมายถึงภาวะที่ก้าวแตกตัวไปเป็นก้าวที่มีประจุ โดยทั่วไปประกอบด้วยประจุบวกและประจุลบที่มีความหนาแน่นเท่ากัน หรือถ้าล่าวได้ว่าเป็นกลุ่มของอิเลคตรอน ไอออนโมเลกุล อนุมูลิสระ และอะตอมในสถานะกระตุ้น<sup>(10)</sup> เมื่อปรับสภาพผิวพอลิเมอร์ด้วยพลาสma ก่อให้เกิดผลดังต่อไปนี้ 1) การทำความสะอาดและกำจัดสิ่งปนเปื้อนบนพื้นผิวพอลิเมอร์ 2) สามารถปรับเปลี่ยนส่วนประกอบพื้นผิวโดยการแตกแรงยึดระหว่างโมเลกุลของพอลิเมอร์ จาก

นั้นทำปฏิกิริยากับอานุภาคในพลาสma ทำให้คุณสมบัติการเปลี่ยนพื้นผิว (surface wettability) ดีขึ้น 3) สามารถเปลี่ยนโครงสร้างพื้นผิว (surface topography) โดยการกัดกร่อน (etching) หรือการเปลี่ยนองค์ประกอบพื้นผิว (decomposition) ด้วยการเคลือบผิว<sup>(11,12)</sup> รวมทั้ง 4) สามารถทำให้เกิดชั้นตัวช่วย (cross-linking) ได้ต่อชั้นผิวพอลิเมอร์<sup>(11)</sup> ทำให้พื้นผิวที่ผ่านการปรับสภาพพร้อมทำปฏิกิริยากับสารที่นำมาใช้ดีดี

จากการบทวนวรรณกรรม พบร่วมกับไม่มีการศึกษาใดที่เปรียบเทียบการเพิ่มแรงยึดติดระหว่างเรซินอะคริลิกชนิดบ่มด้วยความร้อนและเรซินอะคริลิกชนิดบ่มด้วยตัวเองโดยใช้วิธีทางเคมี ทางกล และทางฟิสิกส์ ดังนั้นงานวิจัยนี้จึงมีวัตถุประสงค์เพื่อศึกษาผลของการปรับสภาพพื้นผิวด้วยวิธีต่างๆ ต่อแรงยึดเชื่อมระหว่างเรซินอะคริลิกชนิดบ่มด้วยความร้อนกับเรซินอะคริลิกชนิดบ่มด้วยตัวเอง โดยมีสมมุติฐานว่า (null hypothesis) ของการศึกษาคือ แรงยึดเชื่อมระหว่างเรซินอะคริลิกชนิดบ่มด้วยความร้อนที่ใช้วิธีการปรับสภาพพื้นผิวแบบต่างๆ กับเรซินอะคริลิกชนิดบ่มด้วยตัวเอง ไม่ต่างกันอย่างมีนัยสำคัญ

## วัสดุอุปกรณ์และวิธีการ

เตรียมชิ้นทดสอบเรซินอะคริลิกชนิดบ่มด้วยความร้อนจำนวน 78 ชิ้น โดยนำท่อวงแหวนโลหะขนาดเส้นผ่าศูนย์กลาง 19 มิลลิเมตร สูง 11 มิลลิเมตร มาอัดด้วยชี้ผึ้งสีซามพูให้เต็ม นำชิ้นทดสอบไปลงเบ้าหล่อ และต้มໄลชี้ผึ้งอุกจันหมด แล้วผสมเรซินอะคริลิกชนิดบ่มด้วยความร้อน (Triplex®, ivoclar) ตามอัตราส่วนที่ผู้ผลิตแนะนำ (พอลิเมอร์ 23.4 กรัม ต่อ มอนอมิเออร์ 10 มิลลิลิตร) อัดในท่อวงแหวนให้เต็ม จากนั้นนำไปบ่มด้วยอุณหภูมิและเวลาตามที่บริษัทผู้ผลิตแนะนำ นำชิ้นทดสอบที่ได้มาขัดด้วยกระดาษทรายจนถึงเบอร์ 1,200 โดยใช้เครื่องขัดชิ้นทดสอบ (Grinder Polisher, MoPao 160E) จากนั้นใช้ดินสอวาดวงกลมขนาดเส้นผ่าศูนย์กลาง 5 มิลลิเมตร ตรงกลางชิ้นทดสอบ และนำชิ้นทดสอบทั้งหมดไปทำความสะอาดด้วยเครื่องอัลตราโซนิก (ultrasonic) (Bio Sonic, UC 125) นาน 30 นาที ได้ชิ้นทดสอบดังรูปที่ 1

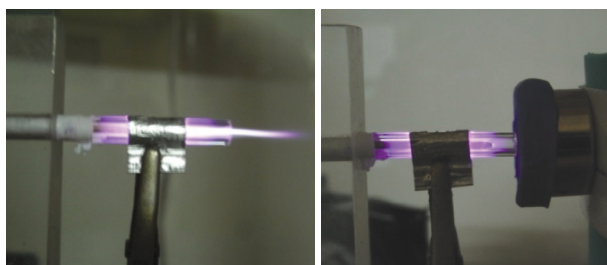


**รูปที่ 1** แสดงชิ้นทดสอบเรซินอะคริลิกชนิดปั่นด้วยความร้อนที่เตรียมแล้ว

**Figure 1 Illustration of prepared heat-polymerized acrylic resin specimen**

แบ่งชิ้นทดสอบออกเป็น 6 กลุ่มๆ ละ 13 ชิ้น โดยมีวิธีการปรับสภาพพื้นผิวเพื่อยึดกับเรซินอะคริลิก ชนิดปั่นด้วยตัวเอง ดังนี้ กลุ่มที่ 1 ไม่มีการปรับสภาพพื้นผิวด้วยวิธีใด (กลุ่มควบคุม) กลุ่มที่ 2 ทาเมทิลเมทา คริเลต มอนโอมอร์ (MMA, Unifast<sup>®</sup>, GC) บนพื้นผิวของชิ้นทดสอบแล้วทิ้งไว้ 180 วินาที กลุ่มที่ 3 ใช้วิธีพ่นด้วยผงอลูмин่า ขนาด 50 ไมครอน (TEC-LINE<sup>®</sup>) ภายใต้ความดัน 0.5 bar โดยมีระยะห่างของปลายหัวพ่นกับชิ้นทดสอบ 30 มิลลิเมตร นาน 5 วินาที กลุ่มที่ 4 ใช้ระบบพลาสมาระบบดันบรรยากาศ ปรับสภาพตรงกับกลางของชิ้นทดสอบด้วยเจ็ท พลาสม่าที่เหนี่ยวนำด้วยระบบความต่างศักย์ไฟฟ้าสูง โดยใช้กำลังาร์กอน 14.28% ผสมกับอากาศ 85.72% โดยใช้ศักย์ไฟฟ้า 25 โวลต์ ความถี่ 56 กิโลเอริตซ์ โดยมีระยะห่างของปลายระบบออกเจ็ทกับชิ้นทดสอบ 0.5 มิลลิเมตร นาน 180 วินาที (รูปที่ 2) กลุ่มที่ 5 ใช้การปรับสภาพด้วยเจ็ท พลาสม่าเช่นเดียวกับกลุ่มที่ 4 แล้วตามด้วยการทำความทิลเมทาคริเลต มอนโอมอร์ ทิ้งไว้ 180 วินาที และ กลุ่มที่ 6 ปรับสภาพผิวด้วยเจ็ท พลาสม่าแล้วตามด้วยการทำความทิลเมทาคริเลต มอนโอมอร์ จากนั้นปรับสภาพผิวด้วยเจ็ท พลาสม่าอีกครั้ง

นำเรซินอะคริลิกชนิดปั่นด้วยตัวเอง (Unifast<sup>®</sup>, GC) มาเย็บกับชิ้นทดสอบจำนวน 8 ชิ้นในแต่ละกลุ่ม ด้วยการใส่ผงเมทิลเมทาคริเลต และเมทิลเมทาคริเลต มอนโอมอร์ที่ละน้อยสลับกัน (sprinkle-on technique) โดยใช้แผ่นเข็มสีชมพูที่เจาะรูตรงกลางให้มีขนาดเส้นผ่านศูนย์กลาง 3.6 มิลลิเมตร สูง 2 มิลลิเมตรเป็นแม่



**รูปที่ 2** แสดงลำเจ็ท พลาสม่า และการปรับสภาพพื้นผิวด้วยเจ็ท พลาสม่า

**Figure 2 Illustration of jet plasma beam and surface treatment of the specimen by jet plasma**

แบบในการขึ้นรูป หลังจากเรซินอะคริลิกชนิดปั่นด้วยตัวเองเต็มແມ່ແບບและแข็งตัวเต็มที่ จึงนำแผ่นเข็มสีชมพูออก จะได้ชิ้นงานดังรูปที่ 3



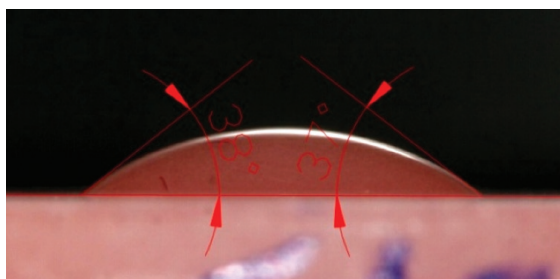
**รูปที่ 3** แสดงชิ้นทดสอบที่ถูกเย็บด้วยเรซินอะคริลิกชนิดปั่นด้วยตัวเอง

**Figure 3 Illustration of autopolymerized acrylic resin applied on the specimen**

เก็บชิ้นทดสอบที่อุณหภูมิห้องนาน 72 ชั่วโมง แล้วนำมาทดสอบหาค่าความแข็งแรงยึดเฉือนด้วยเครื่องทดสอบสากล (Universal Testing Machine) (Instron<sup>®</sup>) กำหนดค่าความเร็วหัวกด 0.5 มิลลิเมตร ต่อนาที บันทึกผลการทดสอบค่าแรงยึดเฉือนของชิ้นทดสอบแต่ละชิ้นในหน่วยเมกะปาสคัล (MPa) และคำนวณค่าเฉลี่ยแรงยึดเฉือนของกลุ่มทดสอบแต่ละกลุ่มน้ำวิเคราะห์ทางสถิติ โดยใช้การวิเคราะห์ความแปรปรวนแบบทางเดียว (1-way ANOVA) และทดสอบเชิงช้อนด้วยวิธีทูกี ที่ค่าความเชื่อมั่นร้อยละ 95 (Tukey multiple comparison test

( $p < .05$ ) จากนั้นนำชิ้นทดสอบที่ผ่านการวัดค่าแรงยึดเฉื่อนด้วยเครื่องทดสอบสากล ไปตร้าจสอบรูปแบบความล้มเหลวของการยึดติด (mode of failure) ด้วยกล้อง stereomicroscope (Stereomicroscope) (Olympus® SZX12) เพื่อแยกประเภทของการแตกหักว่าเป็น การแตกหักในส่วนของเรซินอะคริลิกด้านใดด้านหนึ่ง (cohesive failure) หรือเป็นการแตกหักบริเวณรอยต่อของเรซินอะคริลิกทั้งสองชนิด (adhesive failure) หรือเกิดขึ้นทั้งสองแบบร่วมกัน (mix type)

นำชิ้นงานที่ปรับสภาพพื้นผิวแต่ละแบบจำนวน 5 ชิ้นในแต่ละกลุ่มทดสอบ มาทดสอบคุณสมบัติการเปียกน้ำบนพื้นผิว โดยการหยดน้ำด้วยไมโครปีเพต (socorex, Switzerland) ปริมาตร 10 ไมโครลิตร บนพื้นผิวทดสอบแต่ละชิ้น ให้ระยะห่างของปลายไมโครปีเพตกับชิ้นทดสอบคงที่ 2 เซนติเมตรตลอดการทดสอบ ใช้กล้องถ่ายภาพดิจิตอลขนาดความยาวโฟกัสของเลนซ์ 125 มิลลิเมตร ถ่ายรูปheyด้น้ำแต่ละหยดภายในเวลา 10 วินาที หลังการหยด โดยให้ระยะระหว่างหยดน้ำกับกล้องคงที่ 35 เซนติเมตรตลอดการทดสอบ นำภาพที่ได้ไปวัดมุมสัมผัสทั้งสองข้างของหยดน้ำด้วยโปรแกรม ออโต้แคด (Auto Cad2007 (Autodesk Inc., USA)) (รูปที่ 4) จากนั้นนำผลที่ได้มาหาค่าเฉลี่ยมุมสัมผัสของแต่ละกลุ่ม

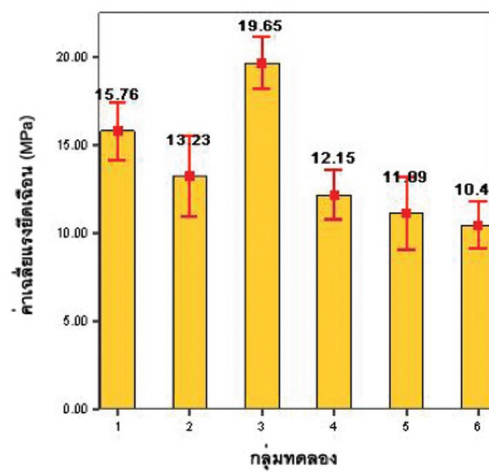


**รูปที่ 4** แสดงการวัดมุมลักษณะของหยดน้ำบนพื้นผิวชิ้นทดสอบด้วยโปรแกรม ออโต้แคด

**Figure 4 Illustration of the contact angle measurement of water droplet by AutoCAD program**

## ผลการวิจัย

ค่าเฉลี่ยแรงยึดเฉื่อน (MPa) ของแต่ละกลุ่มทดสอบแสดงในรูปที่ 5 และตารางที่ 1 จากการทดสอบด้วยการวิเคราะห์ความแปรปรวนแบบจำแนกทางเดียว (1-way ANOVA) และการทดสอบทุกคู่ พบว่า แรงยึดเฉื่อนในกลุ่มที่ 3 (พื้นด้วยพղอยู่มีนา) มีค่ามากกว่าค่าแรงยึดเฉื่อนในทุกกลุ่มอย่างมีนัยสำคัญที่ระดับความเชื่อมั่นร้อยละ 95 และค่าแรงยึดเฉื่อนในกลุ่มที่ 2 (ทาด้วยเมทิลเมทาคริเลต มองเอมอร์) ไม่แตกต่างจากกลุ่มที่ 1 (กลุ่มควบคุม) อย่างมีนัยสำคัญ แรงยึดเฉื่อนในกลุ่มที่ 4 (ปรับสภาพพื้นผิวด้วยเจ็ท พลาスマ) กลุ่มที่ 5 (ปรับสภาพพื้นผิวด้วยเจ็ทพลาasma) และกลุ่มที่ 6 (ปรับสภาพพื้นผิวด้วยเจ็ทพลาasma ทาด้วยเมทิลเมทาคริเลต มองเอมอร์และเจ็ทพลาasma อีกครั้งหนึ่ง) แตกต่างจาก กลุ่มที่ 1 และ กลุ่มที่ 3 อย่างมีนัยสำคัญ แต่เมื่อเปรียบเทียบกับกลุ่มที่ 2 กลับพบว่าไม่มีความแตกต่างอย่างมีนัยสำคัญที่ระดับความเชื่อมั่นร้อยละ 95 เมื่อเปรียบเทียบแรงยึดเฉื่อนในระหว่างกลุ่มที่มีปรับสภาพพื้นผิวด้วยเจ็ท พลาasma (กลุ่มที่ 4, 5 และ 6) ไม่พบความแตกต่างอย่างมีนัยสำคัญที่ระดับความเชื่อมั่นร้อยละ 95



**รูปที่ 5** กราฟแสดงค่าเฉลี่ยแรงยึดเฉื่อนของแต่ละกลุ่มทดสอบ

**Figure 5 Mean of shear bond strength values of each experimental group**

ตารางที่ 1 ค่าเฉลี่ยแรงยึดцепอน (megapascal) และส่วนเบี่ยงเบนมาตรฐานของแต่ละกลุ่มทดลอง

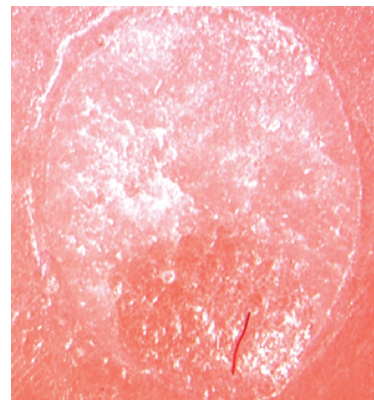
**Table 1** Mean of shear bond strength values in MPa and standard deviations of each experimental group.

กลุ่มตัวอย่าง	Mean (MPa)
กลุ่มที่ 1 (กลุ่มควบคุม)	15.15 ( $\pm 0.74$ ) <sup>a</sup>
กลุ่มที่ 2 (ทาเมทิลเมทาคริเลต มอนโอมอร์)	13.23 ( $\pm 2.73$ ) <sup>ab</sup>
กลุ่มที่ 3 (พ่นผงอลูมิโน)	19.65 ( $\pm 1.81$ ) <sup>c</sup>
กลุ่มที่ 4 (เจ็ท พลาสma)	12.15 ( $\pm 1.65$ ) <sup>b</sup>
กลุ่มที่ 5 (เจ็ท พลาสma และทาเมทิลเมทาคริเลต มอนโอมอร์)	11.09 ( $\pm 2.49$ ) <sup>b</sup>
กลุ่มที่ 6 (เจ็ท พลาสma ทาเมทิลเมทาคริเลต มอนโอมอร์และเจ็ทพลาสmaอีกครั้งหนึ่ง)	10.42 ( $\pm 1.60$ ) <sup>b</sup>

อักษรตัวยกที่ต่างกันแสดงว่ามีความแตกต่างกันอย่างมีนัยสำคัญที่ระดับความเชื่อมั่นร้อยละ 95

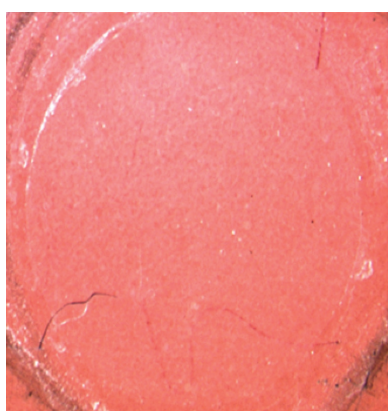
Differences in letter of superscript denote significant differences at p <0.05

จากการตรวจลักษณะพื้นผิวเรซินอะคริลิกชนิดบ่มด้วยความร้อน หลังเกิดความล้มเหลวของการยึดติดด้วยกล้องสเตอริโ İzometroscopic พบว่ากลุ่มที่ 1 มีลักษณะความล้มเหลวของการยึดติดส่วนใหญ่เป็นแบบแอดไฮซีฟแต่มีเพียงหนึ่งชิ้นที่พบความล้มเหลวชนิดโคไฮซีฟในเนื้อเรซินอะคริลิกชนิดบ่มด้วยความร้อน กลุ่มที่ 2, 4, 5 และ 6 พบรักษณะความล้มเหลวของการยึดติดชนิดแอดไฮซีฟในทุกชิ้น (รูปที่ 6) และกลุ่มที่ 3 พบรักษณะพื้นผิวแบบโคไฮซีฟในเนื้อเรซินอะคริลิกชนิดบ่มด้วยตัวเอง (รูปที่ 7)



**รูปที่ 7** แสดงลักษณะความล้มเหลวของการยึดติดชนิดโคไฮซีฟ

**Figure 7** Illustration of mode of failure; cohesive type



**รูปที่ 6** แสดงลักษณะความล้มเหลวของการยึดติดชนิดแอดไฮซีฟ

**Figure 6** Illustration of mode of failure; adhesive type

จากการวิเคราะห์ค่าเฉลี่ยมุนสัมผัสของหยดน้ำและค่าเฉลี่ยแรงยึดцепอน (ตารางที่ 2) พบว่ากลุ่มที่มีค่าเฉลี่ยมุนสัมผัสของหยดน้ำอยู่สุด (กลุ่มที่ 6) ไม่ได้มีค่าเฉลี่ยแรงยึดцепอนมากที่สุด แต่ในทางกลับกันชิ้นงานกลุ่มที่มีค่าเฉลี่ยมุนสัมผัสของหยดน้ำสูงสุด (กลุ่มที่ 3) กลับเป็นกลุ่มที่มีค่าเฉลี่ยแรงยึดцепอนมากที่สุด และพบว่ากลุ่มที่ 6 และกลุ่มที่ 4 มีค่าเฉลี่ยมุนสัมผัสของหยดน้ำใกล้เคียงกัน ในขณะที่กลุ่มที่ 2, 3 และ 5 มีค่าเฉลี่ยมุนสัมผัสของหยดน้ำใกล้เคียงกัน

ตารางที่ 2 ค่าเฉลี่ยมุนสัมผัสของหยดน้ำและค่าเฉลี่ยแรงยึดเหนือ (เมกะปาลสกาล) ของแต่ละกลุ่มทดลอง

**Table 2** Mean of contact angle of water droplet and mean of shear bond strength values in MPa of each experimental group

กลุ่มทดลอง	ค่าเฉลี่ยมุนสัมผัสของหยดน้ำ (องศา)	ค่าเฉลี่ยแรงยึดเหนือ (เมกะปาลสกาล)
กลุ่มที่ 1	68.7	15.15 ( $\pm 0.74$ )
กลุ่มที่ 2	76.7	13.23 ( $\pm 2.73$ )
กลุ่มที่ 3	77.6	19.65 ( $\pm 1.81$ )
กลุ่มที่ 4	40.4	12.15 ( $\pm 1.65$ )
กลุ่มที่ 5	78.9	11.09 ( $\pm 2.49$ )
กลุ่มที่ 6	38.4	10.42 ( $\pm 1.60$ )

## บทวิจารณ์

การที่ค่าเฉลี่ยแรงยึดเหนือของกลุ่มที่ปรับสภาพพื้นผิวด้วยการพ่นผงอลูминามีค่าสูงที่สุด เนื่องจากการพ่นด้วยผงอลูминาทำให้เกิดความขุขระในระดับไมโครอนบนพื้นผิวสังผlnให้มีพื้นที่ผิวในการยึดติดมากขึ้น ซึ่งการทดลองของ Minami และคณะ<sup>(8)</sup> พบว่าการพ่นผงอลูмин่าทำให้เกิดเกิดลักษณะส่วนคอดบันพื้นผิวจึงทำให้เกิดการยึดติดเชิงกลที่ดีขึ้น ผลที่ได้จากการวิจัยนี้สอดคล้องกับจากผลการทดลองเชิงกลอื่นๆ ซึ่งพบว่าการเพิ่มการยึดติดด้วยวิธีเชิงกลมักเป็นวิธีที่ให้ค่าการยึดติดสูงสุด

การศึกษาที่ผ่านมาแนะนำให้ใช้เมทิลเมทาคริเลตทาที่ผิวฐานพื้นเทียมก่อนยึดด้วยเรซินอะคริลิก ชนิดบ่มด้วยตัวเองเพื่อให้การยึดติดดีขึ้น ซึ่งการทานมอนอเมอร์ทำให้เกิดการละลายผิวของพอลิเมทิลเมทาคริเลตบางส่วนจึงทำให้เกิดลักษณะรูพรุนคล้ายการกัดด้วยกรด (etching) ส่งผลให้มีพื้นที่ผิวในการยึดติดเพิ่มขึ้น และทำให้เกิดการยึดติดเชิงกลเกิดขึ้น<sup>(9)</sup> แม้ว่าจะมีผู้กล่าวถึงการเกิดปฏิกิริยาเคมีระหว่างเรซินอะคริลิกชนิดบ่มด้วยความร้อนกับเรซินอะคริลิกชนิดบ่มด้วยตัวเองหลังจากปรับสภาพพื้นผิวด้วยเมทิลเมทาคริเลต มอนอเมอร์<sup>(9)</sup> แต่ก็ยังไม่พบว่ามีการศึกษาใดสามารถว่าพิสูจน์ว่าเกิดปฏิกิริยาเคมีขึ้นจริง Vallittu และคณะ<sup>(9)</sup> พบว่าการทานวิเรซินอะคริลิกชนิดบ่มด้วยความร้อนด้วยเมทิลเมทาคริเลต มอนอเมอร์ เป็นเวลา 180 วินาทีก่อนยึดด้วยเรซินอะคริลิกชนิดบ่มด้วยตัวเอง ให้ค่าการยึดติดสูงสุดเมื่อเทียบกับการทานเป็นเวลา 5, 30 และ 60 วินาที ดังนั้นในงานวิจัยนี้จึงเลือกทานเมทิลเมทาคริเลต มอนอเมอร์ เป็น

เวลา 180 วินาทีก่อนยึดด้วยเรซินอะคริลิก ชนิดบ่มด้วยตัวเอง แต่กลับพบว่าค่าเฉลี่ยความแข็งแรงยึดเหนือของกลุ่มทามเทิลเมทาคริเลต มอนอเมอร์ ไม่แตกต่างอย่างมีนัยสำคัญเมื่อเทียบกับกลุ่มควบคุม อาจเนื่องมาจากทามเทิลเมทาคริเลตหนามากเกินไปส่งผลให้เกิดลักษณะคล้ายแผ่นฟิล์มเคลือบบนพื้นผิวซึ่งขัดขวางการยึดติด นอกจากนี้ Shen และคณะ<sup>(7)</sup> กล่าวว่า มอนอเมอร์ไม่มีประสิทธิภาพมากพอที่จะกำจัดสิ่งสกปรกบนพื้นผิวและไม่สามารถสร้างให้เกิดลักษณะพื้นผิวที่พร้อมในการยึดติด ด้วยเหตุผลเหล่านี้จึงส่งผลให้ผลการทดลองนี้ไม่สอดคล้องกับผลการทดลองที่ผ่านมา

ในกลุ่มที่ 4, 5 และ 6 ที่มีการปรับสภาพพื้นผิวด้วยเจ็ทพลาสma ร่วมกับการทำความสะอาดด้วยเมทิลเมทาคริเลต มอนอเมอร์พบว่ามีค่าแรงยึดเหนือต่ำกว่ากลุ่มควบคุมอย่างมีนัยสำคัญ ซึ่งในทางทฤษฎีแล้ว พื้นผิวที่ผ่านการทำความสะอาดด้วยเจ็ทพลาสma จะมีความสะอาดและมีความพร้อมในการทำปฏิกิริยาดังได้กล่าวไว้ในตอนต้น นอกจากนี้การทำความสะอาดด้วยเจ็ทพลาสma จะมีความสะอาดและมีความพร้อมในการปรับสภาพผิวพอลิเมอร์ด้วยพลาสม่า ยังปรับปรุงคุณสมบัติความชอบน้ำของพื้นผิว (hydrophilicity) ได้ดีขึ้นด้วยการสร้างหมู่ฟังชัน (functional groups) ได้แก่  $C=O^{(13)}$  และ  $-OH^{(14)}$  บนพิวพอลิเมอร์ ซึ่งสอดคล้องกับการศึกษาของ Hook และคณะ<sup>(15)</sup> ที่รายงานผลของการใช้ พลาสม่าของก๊าซออกซิเจนร่วมกับน้ำ ปรับพื้นผิวของพอลิเมทิลเมทาคริเลต พบว่าทำให้เกิดหมู่ไฮdroxyl (hydroxyl group) ขึ้นบนพื้นผิว และเกิดการเปลี่ยนแปลงโครงสร้างบริเวณพิวพันสุด และบริเวณใต้ชั้นพิวลีกลงไป 20 นาโนเมตร แต่อายุรักษ์ตาม

พบว่าภายในได้การใช้พลาสมาริชีนี้ ทำให้พื้นผิวของพอลิเมทิลเมทาคริเลตเกิดการเสื่อมสภาพ (surface degradation) ร่วมด้วย และจากการศึกษาของ Kitova และคณะ<sup>(16)</sup> โดยใช้พลาสมาริชของก้าซอาร์กอนร่วมกับไอน้ำ ( $\text{Ar}/\text{H}_2\text{O}$ ) และ ก้าซอาร์กอนร่วมกับเอทานอล ( $\text{Ar}/\text{C}_2\text{H}_5\text{OH}$ ) ปรับสภาพผิวพอลิเมทิลเมทาคริเลตพบว่า พลังงานพื้นผิว (surface energy) มีค่าเพิ่มขึ้น เนื่องจาก มีการเพิ่มความมีข้าวของโมเลกุลบนผิวพอลิเมทิลเมทาคริเลต และมีค่ามูสัมผัสหยดน้ำลดลงอย่างมาก แต่ กลับพบว่าไม่สัมพันธ์กับค่าแรงยึดระหว่างโมเลกุล (dispersion force) ที่วัดได้ แสดงว่าค่าแรงยึดระหว่างโมเลกุล ไม่ได้เปรียบตามความมีข้าวที่เพิ่มขึ้นบนพื้นผิว วัสดุ ซึ่งสอดคล้องกับการศึกษาในครั้งนี้ที่พบว่า กลุ่มที่ใช้พลาสมารับสภาพพื้นผิวมีค่ามูสัมผัสหยดน้ำลดลง เมื่อเทียบกับกลุ่มอื่นๆ แต่ก็พบว่าค่าแรงยึดเดือนลดลง ด้วย สาเหตุอาจเนื่องมาจากพื้นผิวของพอลิเมทิลเมทาคริเลตและชั้นที่ลึกลงไปในระดับนาโนเมตรเกิดการเปลี่ยนแปลงโครงสร้าง เกิดการทำลายพันธะและแรงยึดระหว่างโมเลกุลทำให้แรงยึดระหว่างโมเลกุลมีค่าลดลง<sup>(16)</sup> จึงทำให้โครงสร้างบริเวณชั้นผิวที่อยู่ลึกลงไปนี้มีความอ่อนแอ เมื่อเกิดการแตกหักระหว่างรอยต่อของเรซิน อะคริลิกทั้งสองชนิด บริเวณที่เกิดการแตกหักอาจอยู่ในชั้นที่ลึกลงไปไม่เกินโนเมตรในเนื้อเรซินอะคริลิกชนิดบ่ม ด้วยความร้อน ซึ่งไม่สามารถสังเกตได้ด้วยตาเปล่า และ กล้องสเตอริโอกล้องโคมไฮสโตรบ

ในแง่คุณภาพของเจ็ท พลาสม่า พบว่า คุณภาพของเจ็ทพลาสมารูงกว่าคุณภาพห้อง<sup>(17)</sup> จึงอาจเป็นไปได้ว่าค่าความถี่ของพลังงานที่เราให้แก่พลาสม่า มีค่าไม่เหมาะสม อาจทำให้คุณภาพบริเวณชั้นทดสอบที่กรอบกับจำเจ็ท พลาสม่า มีค่าสูง และอาจสูงเกินกว่า Glass transition temperature (Tg) ของเรซินอะคริลิกชนิดบ่ม ด้วยความร้อน จึงอาจทำให้บริเวณพื้นผิวของ เรซินอะคริลิก เกิดการเสื่อมสภาพจากคุณภาพที่สูงขึ้น ส่งผลให้ค่าแรงยึดเดือนลดลง

จากการทดลองนี้พบว่าค่าเฉลี่ยมูสัมผัสของหยดน้ำไม่สามารถทำนายค่าแรงยึดเดือนได้ อาจเนื่องมาจากการ พลังงานพื้นผิวของพอลิเมทิลเมทาคริเลตชนิดบ่มด้วย ความร้อนที่ต้องการสำหรับให้น้ำหรือ มองอเมอร์ให้แล้วแต่

ที่ดีนั้นแตกต่างกันอย่างชัดเจนซึ่งสอดคล้องกับการทดลองของ พิริยะและคณะ<sup>(18)</sup>

ดังนั้นจากการทดลองจึงปฏิเสธสมมติฐานว่างที่ว่าแรงยึดเดือนระหว่างเรซินอะคริลิกชนิดบ่มด้วยความร้อนที่ใช้วิธีการปรับสภาพพื้นผิวแบบต่างๆ กับเรซินอะคริลิกชนิดบ่มด้วยตัวเอง ไม่ต่างกันอย่างมีนัยสำคัญ

## บทสรุป

ภายใต้ข้อจำกัดของการทดลอง สามารถสรุปผลได้ดังนี้

- แรงยึดเดือนในกลุ่มที่ปรับสภาพพื้นผิวด้วยการทำเมทิลเมทาคริเลต มองอเมอร์เพียงอย่างเดียวเมื่อเปรียบเทียบกับกลุ่มไม่ปรับสภาพพื้นผิว พบว่าไม่มีความแตกต่างอย่างมีนัยสำคัญที่ระดับความเชื่อมั่นร้อยละ 95
- แรงยึดเดือนในกลุ่มที่ปรับสภาพพื้นผิวด้วยการพ่นผงอลูмин่า เมื่อเปรียบเทียบกับกลุ่มทดลองทุกกลุ่ม พบว่ามีค่าแรงยึดเดือนสูงสุดที่ระดับความเชื่อมั่นร้อยละ 95
- การใช้เจ็ทพลาสม่า ไม่ได้ช่วยให้แรงยึดเดือนระหว่างเมทิลเมทาคริเลต ชนิดบ่มด้วยความร้อนกับชนิดบ่มด้วยตัวเองมีค่าเพิ่มขึ้น
- ค่าเฉลี่ยมูสัมผัสของหยดน้ำไม่สามารถทำนายค่าแรงยึดเดือนระหว่างเมทิลเมทาคริเลต ชนิดบ่มด้วยความร้อนกับชนิดบ่มด้วยตัวเองได้

## กิตติกรรมประการ

ขอขอบพระคุณ รศ.ดร.ธีรวรรณ บุญญารวน รศ.ทพ.ดร.แม่นสรวง อักษรนุกิจ อ.พ.พิสัยศิษฐ์ ชัยจรินทร์ เป็นอย่างสูงในความอนุเคราะห์ช่วยเหลือ ให้คำปรึกษาและข้อเสนอแนะที่เป็นประโยชน์ ขอขอบคุณ คุณพรวนี อุดหนุน ในความช่วยเหลือ และให้คำปรึกษาในเรื่องการใช้เครื่องทดสอบหากล ขอขอบคุณ คุณสมฤทธิ์ ตันมา คุณชาญชัย อุโมงค์ ที่ศูนย์วิจัยพิสิกส์ของพลาสม่าและลำน้ำภาค ภาควิชาพิสิกส์และวัสดุศาสตร์ มหาวิทยาลัยเชียงใหม่ ในความอนุเคราะห์และให้คำปรึกษาร่วมทั้งอำนวยความสะดวกในด้านการใช้ระบบเจ็ท พลาสม่าที่ใช้ในงานวิจัยครั้งนี้

## เอกสารอ้างอิง

1. ประทีเพ สลัดพันธ์, วศ: คำสอนทันตวัสดุศาสตร์ เล่ม 1. หน้า 160-195.
2. Vallittu PK, Lassila VP, Lappalainen R. Evaluation of damage to removable dentures in two cities in Finland. *Acta Odontol Scand* 1993; 51: 363-369.
3. Hargreaves AS. The prevalence of fracture in dentures. *Br Dent J* 1961; 126: 451-455.
4. Sarac YS, Sarac D, Kulunk T, et al. The effect of chemical surface treatment of different denture base resins on the shear bond strength of denture repair. *J Prosthet Dent* 2005; 94: 259-266.
5. Nagai E, Otani K, Satoh Y, et al. Repair of denture base resin using woven metal and glass fiber: effect of the methylene chloride pretreatment. *J Prosthet Dent* 2001; 85: 496-500.
6. Rached RN, Powers JM, Del Bel Cury AA. Repair strength of autopolymerizing, microwave, and conventional heat-polymerized acrylic resin. *J Prosthet Dent* 2004; 92: 79-82.
7. Shen C, Colaizzi FA, Birns B. Strength of denture repairs as influenced by surface treatment. *J Prosthet Dent* 1984; 52: 844-848.
8. Minami H, Suzuki S, Minesaki Y, et al. In vitro evaluation of the influence of repairing condition of denture base resin on the bonding of autopolymerizing resins. *J Prosthet Dent* 2004; 91: 164-170.
9. Vallittu PK, Lassila VP, Lappalainen R. Wetting the surface with methyl methacrylate affects the transverse strength of repaired heat-polymerized resin. *J Prosthet Dent* 1994; 72: 639-643.
10. นิจวรรณ บุญญัววรรณ พิสิกส์ของพลาสมา มหาวิทยาลัยเชียงใหม่, 2546, ISBN : 974-672-036-8.
11. Grace JM, Gerenser LJ. Plasma treatment of polymers. *J dispersion Sci Technol* 2003; 24: 305-341.
12. Liston EM, Martinu L, Wertheimer MR. Plasma surface modification of polymers for improved adhesion: a critical review. *J Adhesion Sci. Technol* 1993; 7: 1091-1127.
13. Lai J, Sunderland B, Xue J, et al. Study on hydrophilicity of polymer surfaces improved by plasma treatment. *Appl Surf Sci* 2006; 252: 3375-3379.
14. Schultz J, Nardin M. *Handbook of adhesive technology*, Pizzi A, Mittal KL editors. Marcel Decker Inc., New York, 1994, pp. 181-192.
15. Hook T, Gardella J, Salvati L. Multitechnique surface spectroscopic studies of plasma-modified polymers II:  $H_2O/Ar$  plasma-modified polymethylmethacrylate/polymethylmethacrylic acid copolymers. *J Mater Res* 1987; 2(1): 132-142.
16. Kitova S, Minchev M, Danev G. Soft Plasma Treatment of Polymer Surfaces. *J Opto and Advan Mat* 2005; 7(1): 249-252.
17. Toshifushi J, Katsumata T, Takikawa H. Cold arc-plasma jet under atmospheric pressure for surface modification. *Surf and coat Technol* 2003; 171: 302-306.
18. พิริยะ ย่าวิราษ, พิสัยศิษฐ์ ชัยจรีนนท์, เกษรา ปั้นธ์ พันธ์, และคณะ. ผลของเวลาที่ใช้ปรับสภาพด้วยพลาสมาต่อแรงดึงเฉือนระหว่างเดือยคอมโพสิตเสริมเส้นใย กับคอมโพสิตแกนฟันชนิดเหลวและการเปียกบนพื้นผิวพลอยเมอร์. ชม. ทันตสาร 2553; 31(1): 67-76.